

---

## **СИСТЕМНЫЙ АНАЛИЗ И МАТЕМАТИЧЕСКОЕ МОДЕЛИРОВАНИЕ**

---

4. Щербаков М. В. Методика выявления потенциала энергосбережения на основе интеллектуального анализа данных / М. В. Щербаков, Т. А. Яновский, А. Бребельс, Н. Л. Щербакова // Прикаспийский журнал: управление и высокие технологии. – 2011. – № 2. – С. 51–55.
5. Kasabov N. Evolving connectionists systems. The Knowledge Engineering Approach / N. Kasabov // Originally published in the Series: Perspectives in Neural Computing. – 2<sup>nd</sup> ed. – XXII. – 451 p.

### **References**

1. Zaboleeva-Zotova A. V. Razvitie sistemy avtomatizirovannogo opredelenija jemocij i vozmozhnye sfery primenenija / A. V. Zaboleeva-Zotova, Ju. A. Orlova, V. L. Rozaliev, A. S. Bobkov // Otkrytoe obrazovanie. – 2011. – № 2. – С. 59–62.
2. Kamaev V. A. Intellektual'nye sistemy avtomatizacii upravlenija jenergosberezeniem / V. A. Kamaev, M. V. Shcherbakov, A. Brebel's // Otkrytoe obrazovanie. – 2011. – № 2. – S. 227–231
3. Kamaev V. A. Primenenie konnektivistskikh sistem dlja prognozirovaniya potrebleniya elektroenergii v torgovyh centrakh / V. A. Kamaev, M. V. Shcherbakov, D. P. Panchenko, N. L. Shcherbakova, A. Brebel's // Upravlenie bol'shimi sistemami. – M. : IPU RAN, 2010. – Vyp. 31. – S. 92–109.
4. Shcherbakov M. V. Metodika vyjavlenija potenciala jenergosberezenija na osnove intellektual'nogo analiza dannyh / M. V. Shcherbakov, T. A. Janovskij, A. Brebel's, N. L. Shcherbakova // Priklaspijskij zhurnal: upravlenie i vysokie tehnologii. – 2011. – № 2. – S. 51–55.
5. Kasabov N. Evolving connectionists systems. The Knowledge Engineering Approach // Originally published in the Series: Perspectives in Neural Computing 2<sup>nd</sup> ed. – XXII. – 451 p.

УДК 539.193/.194; 535/.33/34

### **МОДЕЛИРОВАНИЕ АДИАБАТИЧЕСКИХ ПОТЕНЦИАЛОВ ПОЛИХЛОРИРОВАННЫХ ДИБЕНЗОЦИКЛОВ. ТЕТРАХЛОРДИБЕНЗОФУРАН**

**Элькин Михаил Давыдович**, доктор физико-математических наук, профессор, Астраханский государственный университет, 414056, Россия, Астрахань, Татищева, 20 а, e-mail: elkinmd@mail.ru.

**Смирнов Александр Петрович**, старший преподаватель, Астраханский государственный университет, 414056, Россия, Астрахань, Татищева, 20 а, e-mail: apsmir@yandex.ru.

**Джасалмухамбетова Елена Азатуллаевна**, кандидат физико-математических наук, Астраханский государственный университет, 414056, Россия, Астрахань, Татищева, 20 а, e-mail: aleenna@list.ru.

**Гайсина Альфия Рафаилевна**, ассистент, Астраханский государственный университет, 414056, Россия, Астрахань, Татищева, 20 а, e-mail: gaisinaalftyia@mail.ru

**Алыкова Ольга Михайловна**, кандидат педагогических наук, Астраханский государственный университет, 414056, Россия, Астрахань, Татищева, 20 а, e-mail: kof@aspi.ru

Данная работа посвящена построению структурно-динамических моделей полихлорзамещенных дibenзогетероциклических соединений. Для тетрахлордифензофурана определены геометрические параметры молекул, такие, как длины валентных связей и величины углов между ними. Описана методика оценки ангармонического смещения полос в колебательных спектрах полициклических соединений, на основании результатов неэмпирических квантовых расчетов параметров адабатического потенциала – кубических и квартичных силовых постоянных. Получены частоты колебательных состояний и величины их интегральных интенсивностей. Моделирование геометрии молекул и ангармонических колебательных состояний осуществлялась в предположении плоской конфигурации соединений. Расчет проводился квантовым

---

---

**ПРИКАСПИЙСКИЙ ЖУРНАЛ:**  
**управление и высокие технологии № 4 (16) 2011**

---

---

методом функционала плотности DFT/B3LYP/6-311G\*\*. Проведена полная интерпретация фундаментальных колебательных состояний исследуемых соединений. Учет поляризационных и диффузионных эффектов атомного базиса не оказывается и на интерпретации колебательных состояний. Анализ параметров адабатического потенциала позволяет сделать вывод, что ангармоническое смещение можно оценить с помощью процедуры масштабирования. Сопоставление результатов моделирования исследуемых дibenзоциклов с имеющимся экспериментальными данными по колебательным спектрам исследуемых соединений позволяют сделать вывод о достоверности предсказательных квантовых расчетов параметров адабатического потенциала для полихлорированных дibenзоциклов и о возможности их спектральной идентификации.

**Ключевые слова:** колебательные спектры, молекулярные спектры, ИК-спектры, адабатический потенциал, силовые постоянные, полихлорзамещенные, дibenзоцикли, тетрахлордibenзофуран, дibenзофуран.

**MODELLING OF ADIABATIC POTENTIAL OF POLYCHLORINATED  
DIBENZOCYCLES. TETRACHLORDIBENZOFURAN**

*Elkin Mikhail D., Full Professor, Dr. Sc. in Physics, Astrakhan State University, 20a Tatishchev str., Astrakhan, 414056, Russia, e-mail: elkinmd@mail.ru.*

*Smirnov Alexander P., Senior Lecturer, Astrakhan State University, 20a Tatishchev str., Astrakhan, 414056, Russia, e-mail: apsmir@yandex.ru.*

*Dzhalmukhambetova Elena A., Ph. D., Astrakhan State University, 20a Tatishchev str., Astrakhan, 414056, Russia, e-mail: aleenna@list.ru.*

*Gaisina Alfiya R., Lecturer, Astrakhan State University, 20a Tatishchev str., Astrakhan, 414056, Russia, e-mail: gaisinaalfiya@mail.ru.*

*Alykova Olga M., Ph. D., Astrakhan State University, 20a Tatishchev str., Astrakhan, 414056, Russia, e-mail: kof@asp.ru.*

*This article is devoted to the construction of structural-dynamic models of polychlorosubstituted dibenzoheterocyclic compounds. The geometric parameters of molecules are defined for tetrachlordinbenzofuran, such as a valence bond lengths and angles between them. A method is described for evaluation of the anharmonic shift of bands in vibrational spectra of polycyclic compounds based on the results of ab initio quantum calculations for the adiabatic potential – cubic and quartic force constants. The frequencies of the vibrational spectra and their integrated intensities are obtained. Modeling of molecular geometry and anharmonic vibrational spectra was carried out under the suggestion of planar configuration of the compounds. The calculation was performed by density functional quantum method DFT/B3LYP/6-311G \*\*. A complete interpretation of the fundamental vibrational states of the compounds is carried out. Accounting for polarization and diffusion effects of the atomic basis does not impact on the interpretation of vibrational spectra. Analysis of the adiabatic potential parameters suggests that the anharmonic shift can be measured by scale-up procedures. Modeling results of the studied dibenzocycles were compared with the available experimental data on vibrational spectra of the investigated compounds. It can be concluded that predictive quantum calculations for the adiabatic potential of polychlorinated dibenzocycles is reliable and gives the possibility of their spectral identification.*

**Key words:** vibrational spectra, molecular spectra, IR-spectra, adiabatic potential, force constants, polychlorinated, dibenzocycles, tetrachlordinbenzofuran, dibenzofuran.

## СИСТЕМНЫЙ АНАЛИЗ И МАТЕМАТИЧЕСКОЕ МОДЕЛИРОВАНИЕ

**Введение.** Исключительная опасность диоксиновых экотоксикантов делает актуальной задачу изучения их физико-химических свойств, разработку высокочувствительных методов обнаружения и количественного анализа. Наиболее перспективными принято считать методы колебательной спектроскопии, обладающие предсказательными возможностями.

Литературные данные по колебательным спектрам полихлорированных диоксинов (к ним относятся и TCDF) крайне ограничены. Для одного из представителей данного класса соединений, тетрахлордибензо-*n*-диоксина, такие данные сопоставлены с модельными расчетами колебательных состояний в статьях [1, 5]. Хорошее согласие с экспериментальными данными дает основание считать достоверными предсказательные расчеты колебательных спектров других диоксиновых экотоксикантов.

Цель данной публикации – построение структурно-динамических моделей симметричных таутомеров TCDF, анализ колебательных состояний соединений и выявление спектральных полос для их идентификации.

**Анализ колебательных состояний тетрахлордибензофурана.** Модельные расчеты геометрической и электронной структуры соединений осуществлялись в предположении плоской конфигурации соединений (рис.) в рамках метода функционала плотности DFT/B3LYP с базисами 6-311 G\*\*, 6-311+ G\*\*, 6-311++ G\*\* [6].

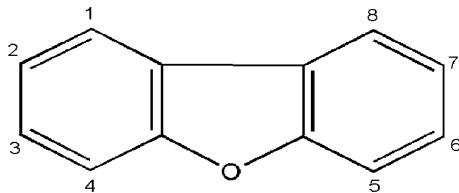


Рис. Структурная формула дибензофурана

Влияние диффузионных параметров атомного базиса (+,++) приводит к смещению колебательных полос, не выходящему за рамки критерия, предложенного в работе [2] для оценки достоверности модельных расчетов спектра фундаментальных колебаний. Качественный характер интегральных интенсивностей полос сохраняется, а количественное расхождение не выходит за границы точности численных методов, используемых в технологии «Gaussian 03» [6]. Ангармоническое смещение полос ( $\sim 150 \text{ см}^{-1}$ ) оказывается, в первую очередь, на валентных колебаниях связей C-H соединений. Однако для спектральной идентификации соединений указанные полосы неинформативны, поэтому в работе исключены из рассмотрения. Остальные колебания таутомеров TCDF лежат в диапазоне ниже  $1650 \text{ см}^{-1}$ . Оценка их ангармонического смещения во втором порядке адиабатической теории возмущения хорошо согласуется с результатами операции масштабирования.

Построение структурно-динамических моделей сложных молекулярных соединений связано с выбором колебательной модели для ядерной подсистемы молекулы. Доминирующим является подход, связанный с использованием нормальных координат, линейно связанных с декартовыми смещениями атомов. Соответствующий гамильтониан имеет вид:

$$H^{(v)} = v_s (P_s^2 + (Q^s)^2)/2 + F_{sr,t} Q^s Q^r Q^t + F_{srtu} Q^s Q^r Q^t Q^u + \mu^{1/4} P_\alpha \mu^{-1/4} P_\beta \mu^{1/4}. \quad (1)$$

Здесь  $P_\alpha = L(\alpha; sr) Q^s \cdot P_r$ ;  $L(\alpha; sr)$  – кориолисовы постоянные.

При использовании естественных колебательных координат гамильтониан (1) преобразуется по схеме, предложенной в работах [3, 4].

Оптимизация геометрии приводит к следующим значениям длин валентных связей и валентных углов соединений:  $R_{(1,2)} = 1,36\text{--}1,37 \text{ \AA}$ ,  $R_{(3,9)} = 1,45\text{--}1,48 \text{ \AA}$ ,  $R_{CCl} = 1,73\text{--}1,76 \text{ \AA}$ ,  $R_{CC} = 1,38\text{--}1,41 \text{ \AA}$ ,  $A_{(2,1,8)} = 105,6\text{--}106,6^\circ$ ,  $A_{(1,2,3)} = 111,8\text{--}112,3^\circ$ ,  $A_{(1,2,7)} = 123,0\text{--}125,9^\circ$ ,

**ПРИКАСПИЙСКИЙ ЖУРНАЛ:  
управление и высокие технологии № 4 (16) 2011**

$A_{(2,3,9)} = 104,7\text{--}105,3^\circ$ ,  $A_{(4,3,9)} = 134,7\text{--}140,0^\circ$ . Отклонение валентных углов шестичленных циклов не превышает  $3,5^\circ$  от значений ( $120^\circ$ ) в феноле.

Таблица 1

**Интерпретация колебательных состояний таутомеров тетрахордibenзофурана**

Форма	$v_r$	$v_{\text{анг}}$	ИК	КР	Форма	$v_r$	$v_{\text{анг}}$	ИК	КР
<b>2,3,6,7-тетрахордibenзофуран</b>									
Тип симметрии A1					Тип симметрии B1				
Q, $\gamma$ , $\beta$	1668	1613	4,15	1310	P	886	863	60,2	0,00
Q, $\gamma$ , $\beta$	1611	1560	0,37	6,62	P	868	845	6,45	0,76
$\beta$	1489	1443	10,1	243	X	444	434	17,0	0,02
Q, $\beta$	1425	1381	76,2	4,19	Тип симметрии B2				
Q, $\beta$	1332	1292	0,54	189	Q, $\gamma$ , $\beta$	1631	1578	37,3	21,5
Q,Q <sub>CO</sub> , $\beta$	1283	1245	13,1	577	$\beta$ , $\gamma$ ,Q	1470	1425	271	0,55
$\beta$	1242	1206	1,21	15,5	$\beta$ , $\gamma$ ,Q	1415	1372	0,19	7,09
Q <sub>CO</sub> , $\gamma$	1193	1159	16,0	48,5	Q, $\beta$	1319	1280	75,2	5,57
$\beta$ ,Q	1112	1081	8,57	21,7	B	1246	1210	10,5	0,00
Q <sub>CCI</sub>	938	913	54,2	24,1	Q <sub>CO</sub>	1219	1184	31,5	1,15
Q	815	794	18,6	47,2	B	1110	1079	218	0,35
$\gamma$ , $\gamma$	739	721	9,90	1,95	Q <sub>CCI</sub> , $\gamma$	930	906	115	0,17
Q <sub>CCI</sub>	650	634	6,92	31,7	$\Gamma$	710	692	10,1	0,34
$\beta$ <sub>CI</sub>	487	476	5,95	0,75	Q <sub>CCI</sub> , $\gamma$	678	661	43,4	0,70
Q <sub>CCI</sub>	261	256	0,01	7,50	Q <sub>CCI</sub>	454	444	26,9	0,85
Q <sub>CCI</sub>	349	342	0,02	2,29	Q <sub>CCI</sub>	400	392	0,26	4,62
$\beta$ <sub>CI</sub>	195	191	0	3,86	$\beta$ <sub>CI</sub>	254	249	0,03	2,40
<b>1,4,5,8-тетрахордibenзофуран</b>									
Тип симметрии A1					Тип симметрии B1				
Q, $\gamma$	1651	1598	3,74	381	$\rho$	820	799	56,1	0,07
Q, $\gamma$ , $\beta$	1599	1548	1,54	64,1	$\chi$	599	585	13,2	0,55
$\beta$ ,Q	1506	1459	125	28,3	$\chi$	527	515	9,48	0,07
Q <sub>CO</sub> ,Q	1388	1346	37,9	169	Тип симметрии B2				
Q, $\beta$	1361	1320	3,11	0,53	Q, $\gamma$ , $\beta$	1621	1569	10,6	0,83
$\beta$	1272	1235	6,46	58,6	Q, $\gamma$ , $\beta$	1587	1536	16,6	2,54
$\beta$ ,Q	1258	1221	0,13	187	$\beta$ , $\gamma$ ,Q	1495	1448	10,4	10,3
$\gamma$ , $\beta$	1167	1133	221	79,8	$\beta$ , $\gamma$ ,Q	1386	1344	82,8	0,02
$\beta$ ,Q	1144	1111	3,74	50,5	Q, $\beta$	1331	1292	5,55	12,2
Q <sub>CCI</sub>	953	927	27,8	6,66	Q <sub>CO</sub> , $\beta$	1276	1239	79,4	0,27
Q <sub>CCI</sub> , $\gamma$	899	875	80,5	24,8	$\beta$ ,Q	1209	1175	33,4	1,81
$\gamma$	691	674	12,1	0,21	$\beta$	1149	1117	11,4	0,36
Q <sub>CCI</sub>	534	522	29,2	3,30	$\gamma$ , $\beta$	1076	1046	41,7	0,69
$\beta$ <sub>CI</sub>	498	487	9,31	13,1	Q <sub>CCI</sub> ,Q <sub>CO</sub>	951	925	47,1	2,79
$\beta$ <sub>CI</sub>	413	404	0,09	3,01	Q <sub>CCI</sub> , $\gamma$	740	722	14,3	0,25
Q <sub>CCI</sub>	329	322	0,32	13,1	$\gamma$	605	590	1,04	9,94
Тип симметрии A2					Q <sub>CCI</sub>	468	458	3,01	0,01
$\rho$ <sub>CI</sub>	286	280	0	4,69	$\beta$ <sub>CI</sub>	170	166	0,02	6,73

**Примечание:** в таблицах интенсивности полос в ИК-спектрах приведены в км/моль, в КР-спектрах – в  $\text{\AA}^4/\text{а.е.м.}$ .

Результаты модельных расчетов колебательных состояний таутомеров TCDF представлены в таблицах 1–3. Общей особенностью колебательных спектров соединений является наличие интенсивной полосы в диапазоне  $1600\text{--}1660 \text{ см}^{-1}$  в КР-спектре, интерпретируемой как колебания фрагментов фенольного цикла (Q, $\gamma$ ). Интенсивность компонентов этой полосы можно использовать для идентификации отдельных таутомеров.

## СИСТЕМНЫЙ АНАЛИЗ И МАТЕМАТИЧЕСКОЕ МОДЕЛИРОВАНИЕ

Таблица 2

### Интерпретация колебательных состояний таутомеров тетрахлордибензофурана

Форма	$\nu_r$	$\nu_{\text{анг}}$	ИК	КР	Форма	$\nu_r$	$\nu_{\text{анг}}$	ИК	КР
<b>1,2,3,4-тетрахлордибензофуран</b>									
Тип симметрии A'					Тип симметрии A''				
Q, $\beta,\gamma$	1662	1608	5,40	574	Q <sub>CO</sub> ,Q <sub>CCI</sub>	986	959	31,5	6,53
Q, $\beta,\gamma$	1626	1574	0,08	20,2	$\gamma_0,Q$	897	873	1,67	4,22
Q, $\gamma$	1615	1563	19,2	133	$\gamma,Q_{CCI}$	865	842	42,1	22,1
Q, $\gamma$	1577	1527	2,13	18,6	Q, $\gamma$	799	779	65,6	0,52
$\beta,Q$	1510	1463	4,91	32,9	Q <sub>CCI</sub>	743	725	7,41	5,35
$\beta,Q$	1483	1437	36,6	33,0	$\gamma,B_{Cl}$	677	660	21,62	0,34
Q,Q <sub>CCI</sub>	1415	1372	91,3	13,3	Q,CCl <sub>1</sub> , $\gamma$	633	618	3,39	2,94
Q <sub>CO</sub> ,Q	1403	1360	129	178	$\gamma,B_{Cl}$	600	586	24,2	1,59
$\beta,\gamma$	1359	1318	15,4	13,1	Q <sub>CCI</sub>	548	535	3,63	2,78
$\beta,\gamma$	1318	1279	5,45	18,5	Q <sub>CCI</sub> ,Q	372	363	1,06	10,5
Q, $\gamma,\beta$	1297	1259	77,0	31,5	Q, $\gamma,B_{Cl}$	355	348	0,25	11,3
Q,Q <sub>CCI</sub>	1265	1228	32,8	271	Q <sub>CCI</sub> , $\gamma$	333	326	0,39	7,58
Q, $\beta$	1234	1199	98,4	46,8	QCCl <sub>1</sub> , $\gamma$	297	291	1,34	4,13
Q, $\beta,\gamma$	1214	1179	20,2	10,8	$\gamma,B_{Cl}$	140	137	0,63	2,24
$\beta$	1134	1102	1,24	3,47	Тип симметрии A''				
Q, $\gamma,\beta$	1078	1048	52,2	1,38	$\rho$	768	749	70,2	0,23
$\beta,Q$	1036	1008	5,16	41,1	$\chi$	445	435	6,07	0,26
<b>1,2,7,8-тетрахлордибензофуран</b>									
Тип симметрии A1					Тип симметрии B2				
Q, $\gamma,\beta$	1656	1602	0,96	1297	$\rho$	743	724	2,53	0,51
Q, $\gamma,\beta$	1610	1558	15,7	40,1	$\rho$	602	588	9,19	0,03
$\beta,Q,\gamma$	1492	1445	28,5	30,6	$\chi$	347	340	3,93	0,66
$\beta,Q,\gamma$	1430	1386	30,1	51,3	Q, $\gamma,\beta$	1625	1573	53,8	2,12
$\beta,Q,\gamma$	1358	1317	6,50	159	Q, $\gamma,\beta$	1601	1549	7,65	0,61
Q,Q <sub>CO</sub> , $\beta$	1308	1269	16,9	437	$\beta,\gamma,Q$	1466	1421	20,9	3,30
$\beta,\gamma$	1222	1187	2,41	35,2	$\beta,\gamma,Q$	1450	1405	171	2,63
$\beta,\gamma$	1180	1146	36,9	168	Q, $\beta$	1334	1295	6,33	1,93
Q <sub>CCI</sub> , $\gamma,\gamma_0$	922	898	60,2	14,1	Q <sub>CO</sub> , $\beta$	1227	1192	58,5	1,39
$\gamma$	877	854	12,1	10,7	$\beta,Q$	1196	1162	98,0	0,00
Q <sub>CCI</sub> , $\gamma_0$	755	736	4,36	36,7	$\beta,Q$	1149	1116	6,29	0,61
Q <sub>CCI</sub> , $\beta_{Cl}$	595	581	6,78	2,04	$\gamma,Q_{CCI}$	1080	1050	19,8	0,85
Q <sub>CCI</sub> , $\beta_{Cl}$	486	475	6,47	18,6	Q <sub>CCI</sub> ,Q <sub>CO</sub>	937	912	228	0,86
Q <sub>CCI</sub> , $\beta_{Cl}$	374	366	0,01	3,29	$\gamma$	598	584	3,05	2,80
Q <sub>CCI</sub> , $\beta_{Cl}$	259	254	0,34	7,86	Q <sub>CCI</sub>	459	449	14,8	4,96
Тип симметрии B1					Тип симметрии B1				
	812	792	62,8	1,35	Q <sub>CCI</sub>	398	390	9,67	1,16
					$\beta_{Cl}$	196	192	0,03	3,88

Полосы в диапазоне 1400–1500  $\text{cm}^{-1}$ , интерпретируемые как деформационные колебания  $\beta$  связей C–H, проявляются в обоих спектрах, но существенно отличаются по интенсивности в разных соединениях. Налицо признак спектральной идентификации таутомеров TCDF. То же касается полос диапазона 1300–1400  $\text{cm}^{-1}$ , которые интерпретированы как колебания фрагментов фенольных циклов, а в отдельных таутомерах как колебания мостика C–O. Полосы в диапазоне 1100–1200  $\text{cm}^{-1}$  интерпретированы как деформационные колебания связей C–H. Это характерно для хлорзамещенных бензола. То же касается и полос в диапазоне 1000–1100  $\text{cm}^{-1}$ . По интенсивностям в ИК-спектре можно идентифицировать 2,3,6,7- и 1,3,6,8-TCDF таутомеры.

**ПРИКАСПИЙСКИЙ ЖУРНАЛ:**  
**управление и высокие технологии № 4 (16) 2011**

Таблица 3

**Интерпретация колебательных состояний таутомеров тетрахордibenзофурана**

Форма	v <sub>г</sub>	v <sub>анг</sub>	ИК	КР	Форма	v <sub>г</sub>	v <sub>анг</sub>	ИК	КР
<b>1,3,6,8-тетрахордibenзофуран</b>									
Тип симметрии A1					Тип симметрии B1				
					Тип симметрии B2				
					Q, $\gamma$ , $\beta$	1625	1573	19,1	1,83
					$\rho$ , $\chi$	1604	1552	1,08	8,27
					$\rho$ , $\chi$	1487	1441	119	10,6
					$\beta$ , $\gamma$ ,Q	1407	1364	42,7	0,00
					Q	1334	1294	14,1	1,36
					$Q_{\text{Cl}}$ , $\gamma$ , $\gamma_O$	1252	1216	70,5	0,20
					$\beta$ , $Q_{\text{Cl}}$	1218	1183	59,4	0,49
					$\beta$ , $Q_{\text{Cl}}$	1118	1086	180,8	0,01
					$\gamma$ , $\beta$	1084	1054	89,3	0,04
					$Q_{\text{Cl}}$	772	753	16,1	0,01
					$\Gamma$	671	654	50,9	0,62
					$Q_{\text{Cl}}$	385	376	5,33	3,81
					$\beta_{\text{Cl}}$	219	215	0,01	2,88
					$\beta_{\text{Cl}}$	186	182	0,08	4,65
<b>2,4,5,7-тетрахордibenзофуран</b>									
Тип симметрии A1					Тип симметрии B1				
					Тип симметрии B2				
					Q, $\gamma$ , $\beta$	1624	1571	242	8,78
					$\rho$ , $\chi$	1580	1530	17,4	0,00
					$\rho$ , $\chi$	1464	1419	20,6	4,55
					$\beta$ , $\gamma$ ,Q	1414	1371	101	0,32
					$\beta$ ,Q	1335	1295	56,5	21,6
					$Q_{\text{Cl}}$ , $\gamma$	1256	1219	5,99	1,50
					$\gamma$ , $Q_{\text{Cl}}$	1218	1183	11,5	6,70
					$Q_{\text{Cl}}$ , $\beta_{\text{Cl}}$	1111	1080	73,1	0,06
					$\Gamma$	1017	989	8,53	0,60
					$\gamma$ , $Q_{\text{Cl}}$	982	955	228	1,24
					$Q_{\text{Cl}}$	811	790	35,1	0,02
					$Q_{\text{Cl}}$	403	394	12,6	2,14
					$\beta_{\text{Cl}}$	584	570	0,01	4,55
					$Q_{\text{Cl}}$ , $\beta_{\text{Cl}}$	429	420	10,89	0,06
					$\beta_{\text{Cl}}$	168	165	0,01	5,78
Тип симметрии A2									
$\chi$	392	383	0	2,11					

В диапазон 900–1000  $\text{cm}^{-1}$ , согласно модельным расчетам, попадает валентное колебание связи C-Cl ( $Q_{\text{Cl}}$ ). При этом интенсивность полос существенно зависит от рассматриваемого таутомера. Этот факт можно использовать для их спектральной идентификации, т.к. располагающиеся в этом диапазоне неплоские деформационные колебания р связей C-H имеют крайне низкую интенсивность и в таблицах не приводятся. Отметим, что эта полоса характерна для дихлорзамещенных бензола.

---

## **СИСТЕМНЫЙ АНАЛИЗ И МАТЕМАТИЧЕСКОЕ МОДЕЛИРОВАНИЕ**

---

Заметные по интенсивности в обоих спектрах полосы в диапазоне 800–900  $\text{cm}^{-1}$  интерпретированы как валентные колебания связей C-Cl.

Следует учесть, что в ИК-спектрах ряда таутомеров TCDF проявляется заметная по интенсивности полоса деформационного колебания  $\rho$  связи C-H. Таким образом, наличие интенсивных полос в диапазоне 800–1000  $\text{cm}^{-1}$  является характерным признаком спектральной идентификации TCDF, а их расположение идентифицирует конкретный таутомер TCDF.

В диапазоне 700–800  $\text{cm}^{-1}$  проявляются интенсивные полосы в ИК-спектре, интерпретированные как валентные колебания связи C-Cl для 1,3,6,8- TCDF и неплоское деформационное колебание связи CH для 1,2,3,4- TCDF. В диапазоне 600–700  $\text{cm}^{-1}$  проявляются заметные по интенсивности полосы в ИК-спектре, интерпретируемые как валентные колебания связей C-Cl для 2,3,6,7- и 1,3,6,8- TCDF. Низкая интенсивность полос, попадающих в диапазон ниже 600  $\text{cm}^{-1}$ , делает затруднительным использование указанного диапазона для спектральной идентификации TCDF. Возможное исключение составляют полосы, интерпретированные как валентные колебания связей C-Cl.

Характеристические плоские деформационные колебания  $\beta_{\text{Cl}}$  связей C-Cl располагаются в диапазоне ниже 250  $\text{cm}^{-1}$ . Этот факт имеет место и в спектрах тетрахлорированных бензолов, что является подтверждением достоверности проведенных предсказательных расчетов колебательных состояний TCDF.

**Заключение.** Анализ полученных модельных расчетов характеристических колебаний TCDF, сопоставление указанных колебаний с экспериментальными данными для тетрахлордibenzo-p-диоксинов и хлорбензолов позволяют сделать вывод о достоверности предсказательных расчетов геометрической структуры и колебательных состояний полихлорированных дibenзофуранов в рамках метода функционала плотности DFT/B3LYP.

### **Список литературы**

1. Джамухамбетова Е. А. Структурно-динамические модели и колебательные спектры дibenзогетероциклов / Е. А. Джамухамбетова, Л. М. Элькин // Вестник СГТУ. – 2007. – № 2 (2). – С. 7–12.
2. Мясоедов Б. Ф. Фрагментарные методы расчета ИК-спектров фосфорорганических соединений / Б. Ф. Мясоедов, Л. А. Грибов, А. И. Павлючко // Журнал структурной химии. – 2006. – Т. 47, № 1. – С. 449–456.
3. Пулин В. Ф. Исследование динамики молекулярных соединений различных классов / В. Ф. Пулин, М. Д. Элькин, В. И. Березин. – Саратов : Изд-во СГТУ, 2002. – 569 с.
4. Элькин М. Д. К вопросу об использовании функции плотности вероятности в ангармонической теории рассеяния электронов молекулами / М. Д. Элькин // Журнал структурной химии. – 1989. – Т. 30, № 6. – С. 33–37.
5. Элькин П. М. Структурно-динамические модели и ангармонический анализ колебательных состояний полихлозамещенных дibenzo-p-диоксинов / П. М. Элькин, М. А. Эрман, О. В. Пулин // Журнал прикладной спектроскопии. – 2007. – Т. 74, № 1. – С. 21–24.
6. Gaussian 03. Revision B.03. Frisch M.J. [et al.]. – Pittsburgh : Gaussian. Inc., 2003.

### **References**

1. Dzhalmuhambetova E. A. Strukturno-dinamicheskie modeli i kolebatelnie spectri dibenzogeterotsiklov / E. A. Dzhalmuhambetova, L. M. Elkin // Vestnic SGTU. – 2007. – № 2 (2). – S. 7–12.
2. Miasoedov B. F. Fragmentarnie metodi rascheta IK spektrov fosfororganicheskikh soedinenii / B. F. Miasoedov, L. A. Gribov, A. I. Pavluchko // Journal strukturnoiy himii. – 2006. – T. 47, № 1. – S. 449–456.
3. Pulin V. F. Issledovanie dinamiki molekulyarnih soedinenii razlichnih classov / V. F. Pulin, M. D. Elkin, V. I. Berezin. – Saratov : SGTU, 2002. – 569 s.
4. Elkin M. D. K voprosu ob ispolzovanii funkciyi plotnosti veroyatnostiv angarmonicheskoi teorii rasseyaniya electronov molekulami / M. D. Elkin // Journal strukturnoiy himii. – 1989. – T. 30, № 6. – S. 33–37.

---

---

**ПРИКАСПИЙСКИЙ ЖУРНАЛ:**  
**управление и высокие технологии № 4 (16) 2011**

---

---

5. Elkin P. M. Sturro-dinamicheskie modeli i anharmonicheski analys kolebatelnih sostoyanei polihlorzameschennyh dibenzo-n-dioxinov / P. M. Elkin, M. A. Erman, O. V. Pulin // Journal Prichladnoi Spectroscopii. – 2007. – T. 74, № 1. – S. 21–24.
6. Gaussian 03. Revision B.03. Frisch M.J. [et al.]. – Pittsburgh : Gaussian. Inc., 2003.

УДК 539.193/.194.535/.33/34

**АНАЛИЗ МОДЕЛЬНЫХ РАСЧЕТОВ КОЛЕБАТЕЛЬНЫХ  
СОСТОЯНИЙ ДИМЕРОВ ГЛИОКСИЛОВОЙ КИСЛОТЫ**

*Эрман Евгений Анатольевич, кандидат технических наук, Астраханский государственный университет, 414056, Россия, Астрахань, Татищева, 20 а, e-mail: kofl@aspu.ru.*

*Степанович Екатерина Юрьевна, аспирант, Астраханский государственный университет, 414056, Россия, Астрахань, Татищева, 20 а, e-mail: kofl@aspu.ru.*

*Смирнов Владимир Вячеславович, кандидат физико-математических наук, Астраханский государственный университет, 414056, Россия, Астрахань, Татищева, 20 а, e-mail: kof@aspu.ru.*

*Нуралиева Диана Мухамеджановна, аспирант, Астраханский государственный университет, 414056, Россия, Астрахань, Татищева, 20 а, e-mail: kofl@aspu.ru.*

*Гайсина Альфия Рафаилевна, ассистент, Астраханский государственный университет, 414056, Россия, Астрахань, Татищева, 20 а, e-mail: gaisinaalfiya@mail.ru*

Глиоксиловая кислота (COH-COOH) является простейшим представителем класса карбоновых кислот. Соединение может образовывать димеры с сильной водородной связью, сложная структура колебательных спектров которых в диапазоне выше 2500 см<sup>-1</sup> до настоящего времени является темой для научных дискуссий. Димеры глиоксиловой кислоты (ДГК) являются хорошим объектом для тестирования расчетной схемы, использующей оценки параметров адабатического потенциала соединений из модельных неэмтиических квантовых расчетов. Практический интерес исследователей к глиоксиловой кислоте связан с гипотезами атмосферной химии о происхождении живых организмов.

Расчеты показали, что образование димеров не сказывается на положении полос валентных колебаний связей CH глиоксиловой кислоты, что дает основание для надежной интерпретации колебательного спектра димеров в высокочастотном диапазоне (выше 2500 см<sup>-1</sup>). В указанный диапазон попадают валентные колебания связей CH и OH, обертоны деформационных колебаний связей CH, валентных связей CO, C=O и деформационных колебаний связей CH, OH. При этом интенсивность обертонных полос на порядок меньше интенсивностей полос фундаментальных колебаний. В работе приведены наборы значений ангармонических силовых констант для валентных колебаний связей OH, по которым возможно оценить параметры адабатического потенциала, касающихся связей OH, и взаимодействие связи OH с водородными связями.

Результаты проведенного численного эксперимента для димеров глиоксиловой кислоты дают основание полагать, что применяемая методика оценки ангармонического смещения полос в высокочастотном диапазоне колебательного спектра мономеров и димеров карбоновых кислот позволяет осуществить достоверную интерпретацию колебательного спектра данного класса соединений.

**Ключевые слова:** глиоксиловая кислота, карбоновая кислота, колебательный спектр, димеры, валентные колебания связей, деформационные колебания, фундаментальные колебания, ангармоническое смещение полос, ангармонические силовые константы, адабатический потенциал.